

## 4.2 Flügel endlicher Länge

### Lösungen

#### Aufgabe 1

Die Funktion verwendet die im Skript angegebenen Formeln. Durch Verwendung geeigneter Arrays können die Geschwindigkeiten alle gleichzeitig berechnet werden.

Bei der Berechnung wird benutzt, dass die beiden freien Wirbel entlang der  $x$ -Achse keinen Beitrag zur Geschwindigkeitskomponente  $v_x$  liefern. Für die Kreuzprodukte mit  $\mathbf{e}_x$  gilt:

$$\mathbf{e}_x \times \mathbf{r}_{AP} = \mathbf{e}_x \times ((x_P - x_A)\mathbf{e}_x + (y_P - y_A)\mathbf{e}_y + (z_P - z_A)\mathbf{e}_z) = -(z_P - z_A)\mathbf{e}_y + (y_P - y_A)\mathbf{e}_z$$

Wenn der Punkt  $P$  auf der Geraden durch die Punkte  $A$  und  $B$  liegt, ist die vom gebundenen Wirbel induzierte Geschwindigkeit null. Dieser Fall wird gesondert behandelt.

Wenn der Punkt  $P$  auf einer der beiden Halbgeraden durch  $A$  oder  $B$  liegt, ist die induzierte Geschwindigkeit des entsprechenden freien Wirbels unendlich. Dieser Fall wird nicht überprüft.

#### GNU Octave-Code für die Funktion `horseshoe`

```
function v = horseshoe(rA, rB, rP)

# usage: v = horseshoe(rA, rB, rP)
#
# Input   rA(3)           Coordinates of point A
#         rB(3)           Coordinates of point B
#         rP(3, :)       Coordinates of points P
#
# Output v(3, :)         Velocity vectors at points P
#
# The function computes the velocities at a set of points P
# induced by a horseshoe vortex with circulation 1:
#
#         B----->----- inf
#         |                   P2
#         ^           P1
#         |
#         A-----<----- inf      --> x
#
#         P3
# -----
#
# Check arguments
```

```

if (nargin != 3 || nargout != 1)
    print_usage();
end

[nr, nc] = size(rA);
if (nr != 3 || nc != 1)
    error("rA must be a 3-dim. column vector\n");
end

[nr, nc] = size(rB);
if (nr != 3 || nc != 1)
    error("rB must be a 3-dim. column vector\n");
end

[nr, nP] = size(rP);
if (nr != 3)
    error("rP must be an array of 3-dim. column vectors\n");
end

# Initialize result

v = zeros(3, columns(rP));

# Basic vectors and their norms

rAP = rP - rA; rBP = rP - rB; rAB = rB - rA;
nAP = norm(rAP, "cols"); nBP = norm(rBP, "cols");

# Contribution of leg inf-A

v1 = [-rAP(3, :); rAP(2, :)];
n1 = 4 * pi * dot(v1, v1);
s = -(1 + rAP(1, :) ./ nAP) ./ n1;
v(2 : 3, :) = v1 .* s;

# Contribution of leg A-B

v1 = cross(rAP, rBP);
n1 = 4 * pi * dot(v1, v1);
s = (rAB' * (rAP ./ nAP - rBP ./ nBP)) ./ n1;
v += v1 .* s;

# Contribution of leg B-inf

v1 = [-rBP(3, :); rBP(2, :)];
n1 = 4 * pi * dot(v1, v1);
s = (1 + rBP(1, :) ./ nBP) ./ n1;
v(2 : 3, :) += v1 .* s;

end

```

### GNU Octave-Code für den Test

```

# Übungsblatt 4.2, Aufgabe 1: Hufeisenwirbel
#

```

```

# -----

file = mfilename();

rA = [0; -1; 0]; % Punkt A
rB = [0; 1; 0]; % Punkt B

# 20 Punkte entlang der Mittellinie

nP = 20;
rP = [linspace(1, 20, nP); zeros(2, nP)];

# Geschwindigkeiten

v = pi * horseshoe(rA, rB, rP);

# Graphische Darstellung

set(0, "defaultlinelinerwidth", 2);
set(0, "defaultaxesfontname", "Arial");
set(0, "defaultaxesfontsize", 12);

figure(1, "position", [100, 500, 1000, 500],
        "paperposition", [0, 0, 14, 8]);
plot(rP(1, :), v(3, :), "color", "red");
grid;
xlabel("x");
ylabel("v_z");
print([file, ".jpg"], "-djpg");

```

## Ergebnis

Abbildung 1.1 zeigt, dass der Wert der Geschwindigkeit gegen  $-1$  strebt. Dies entspricht dem Wert der Geschwindigkeit, die an Punkten in der Mitte zwi-

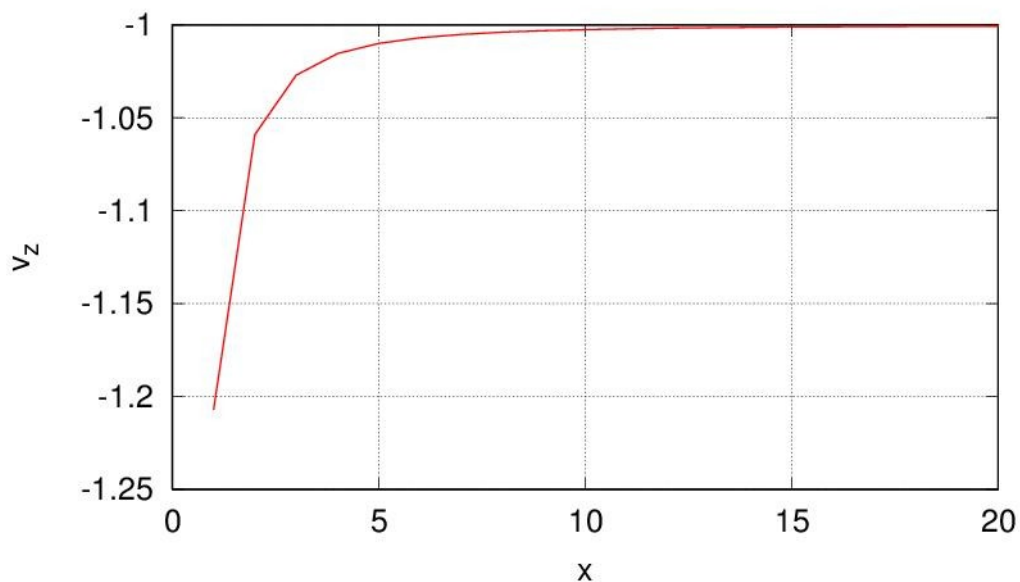


Abbildung 1.1: Geschwindigkeit  $v_z$

schen zwei unendlich langen geraden Wirbelfäden mit dem Abstand 2 und den Wirbelstärken  $-\pi$  bzw.  $\pi$  induziert wird.

## Aufgabe 2

Die Matrix des zu lösenden linearen Gleichungssystems wird in einem Loop über die Wirbel erstellt. Die Funktion `horseshoe` liefert den Beitrag eines Hufeisenwirbels zu den Geschwindigkeiten an allen Kontrollpunkten. Jede Spalte der rechten Seite entspricht einem Anstellwinkel.

### GNU Octave-Code

```
function G = vlms(rA, rB, rC, dw, alpha)

# usage: G = vlms(rA, rB, rC, dw, alpha)
#
# Input   rA(3, :)   Coordinates of vortex points A
#         rB(3, :)   Coordinates of vortex points B
#         rC(3, :)   Coordinates of control points C
#         dw(:)      Slopes dz/dx
#         alpha(:)   Array with angles of attack
#
# Output G(:, :)    Vortex strengths: rows correspond to vortices,
#                   columns to angles of attack
#
# The function computes the strenghts of the horseshoe vortices of
# a wing in the xy-plane using the simplified vortex-lattice
# method. The function can process several angles of attack simul-
# taneously.
#
# -----

# Check arguments

if (nargin != 5 || nargout != 1)
    print_usage;
end

[nr, nc] = size(rA);

if (nr != 3)
    error("rA, rB and rC must have 3 rows\n");
end

[nrB, ncB] = size(rB);
if (nrB != nr || ncB != nc)
    error("Size of rB does not match size of rA\n");
end

[nrC, ncC] = size(rC);
if (nrC != nr || ncC != nc)
    error("Size of rC does not match size of rA\n");
end
```

```

if (length(dw) != nc)
    error("Size of dw does not match size of rA\n");
end

# Build right-hand side

a = ones(nc, 1) * alpha;
[nr, nx] = size(dw);
if (nr == 1)
    rhs = dw' - a;
else
    rhs = dw - a;
end

# Build matrix of influence coefficients

C = zeros(nc, nc, "double");
for n = 1 : nc
    v = horseshoe(rA(:, n), rB(:, n), rC);
    C(:, n) = v(3, :);
end

# Solve for G

G = C \ rhs;

end

```

### Aufgabe 3

Aus

$$\frac{dz_s}{dx} = -4 \frac{h}{c} \left( 2 \frac{x}{c} - 1 \right)$$

folgt für die Steigung der Skelettlinie im Dreiviertelpunkt:

$$\frac{dz_s}{dx} \left( \frac{3}{4} c \right) = -4 \frac{h}{c} \left( \frac{6}{4} - 1 \right) = -2 \frac{h}{c}$$

Der Auftriebsbeiwert wird berechnet, indem der auf den Staudruck bezogene Auftrieb durch die Flügelfläche geteilt wird.

Für die auf den Staudruck bezogene Kraft eines einzelnen gebundenen Wirbels gilt allgemein:

$$\frac{L_n}{q_\infty} = 2 \mathbf{e}_x \times \mathbf{r}_{ABn} \frac{\Gamma_n}{v_\infty}$$

Da der Flügel in der  $xy$ -Ebene liegt, gilt

$$\mathbf{r}_{ABn} = \Delta y_n \mathbf{e}_y$$

und damit

$$\frac{L_n}{q_\infty} = 2 \Delta y_n \frac{\Gamma_n}{v_\infty} e_z .$$

Damit gilt für den gesamten Auftrieb:

$$\frac{L_z}{q_\infty} = \sum_n \frac{L_{nz}}{q_\infty} = 2 \sum_n \Delta y_n \frac{\Gamma_n}{v_\infty}$$

Da die Wirbelstärken  $\Gamma_n/v_\infty$  in einer Spaltenmatrix und die Wirbelabstände  $\Delta y_n$  in einer Zeilenmatrix gespeichert sind, lässt sich die Summe leicht als Skalarprodukt berechnen.

### GNU Octave-Code

```
# Übungsblatt 4.2, Aufgabe 3:
#   Rechteckflügel mit aerodynamischer Schränkung
#   Berechnung mit dem einfachen Wirbelgitterverfahren
#
# -----

warning("off", "Octave:missing-glyph");

set(0, "defaultlinelength", 2);
set(0, "defaultaxesfontname", "Arial");
set(0, "defaultaxesfontsize", 12);

file = mfilename();
fid = fopen([file, ".res"], "wt");

# Daten

N      =      20;      % Anzahl der Hufeisenwirbel
b      =      15;      % Spannweite in m
c      =      1.5;      % Flügeltiefe in m
h      =      0.02;     % Wölbung in m
alpha = [0, 2];      % Anstellwinkel in Grad

# Diskretisierung

theta = linspace(pi, 0, N + 1);
y      = 0.5 * b * cos(theta);

yA = y(1 : N); yB = y(2 : N + 1); yC = 0.5 * (yA + yB);

xA = (0.25 * c) (ones(1, N));
xB = xA;
xC = (0.75 * c) (ones(1, N));

z = zeros(1, N);
rA = [xA; yA; z]; rB = [xB; yB; z]; rC = [xC; yC; z];

# Steigung der Skelettlinie
```

```

dw = - (2 * h / c) (ones(1, N));

# Graphische Kontrolle

figure(1, "position", [100, 700, 1000, 500]);
subplot(2, 1, 1);
plot(rA(2, :), rA(1, :), "color", "green", "marker", "o",
      rB(2, :), rB(1, :), "color", "green", "marker", "o",
      rC(2, :), rC(1, :), "color", "red", "marker", "x",
      "linestyle", "none");
axis([-0.5 * b, 0.5 * b, 0, 1.1 * c], "equal");
grid;
ylabel("x");
subplot(2, 1, 2);
plot(yC, dw, "color", "red");
axis([-0.5 * b, 0.5 * b, -2.1 * h / c, 0]);
grid;
xlabel("y"); ylabel("dz/dx");

# Wirbelstärken

a = pi * alpha / 180;
G = vlms(rA, rB, rC, dw, a);

# Graphische Ausgabe

text1 = sprintf("\alpha = %5.2f\circ", alpha(1));
text2 = sprintf("\alpha = %5.2f\circ", alpha(2));

figure(2, "position", [500, 600, 750, 500],
      "paperposition", [0, 0, 14, 7]);
plot(yC, G(:, 1), "color", "green",
      yC, G(:, 2), "color", "red");
legend(text1, text2, "orientation", "horizontal",
      "location", "south");
legend("boxoff"); legend("left");
axis([-0.5 * b, 0.5 * b, 0, 0.3]);
grid;
xlabel("y"); ylabel('\Gamma / v_{\Symbol \245}');
print([file, ".jpg"], "-djpg");

# Auftriebsbeiwert

A      = b * c;
dy     = diff(y);
cL     = 2 * dy * G / A;
dcLda = diff(cL) ./ diff(a);

# Ausgabe

fprintf(fid, "alpha : %5.2f° %5.2f°\n", alpha);
fprintf(fid, "cL      : %7.4f %7.4f\n", cL);
fprintf(fid, "dcL/da: %7.4f\n", dcLda);

fclose(fid);

```

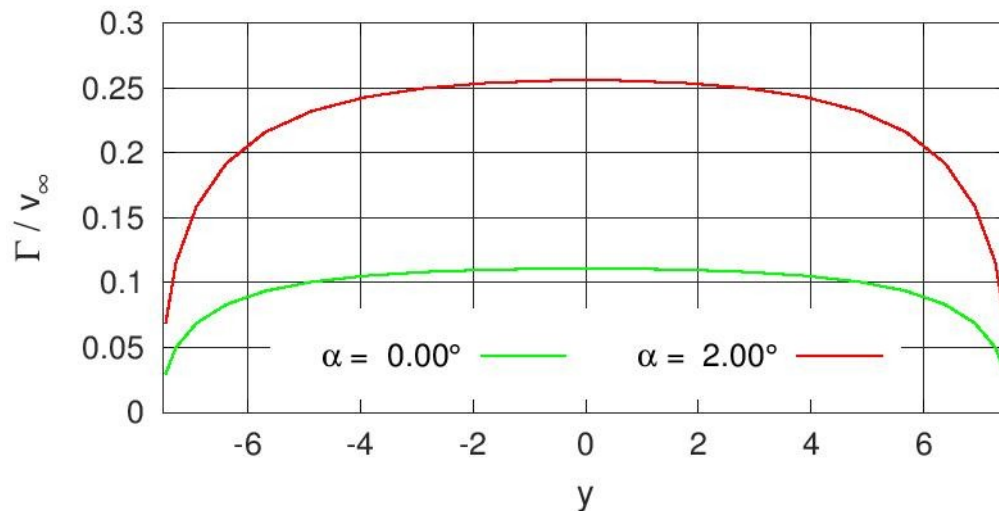


Abbildung 3.1: Zirkulationsverteilung

## Ergebnisse

Die Ausgabedatei enthält die folgenden Daten:

```
alpha : 0.00° 2.00°
cL     : 0.1314 0.3034
dcL/da: 4.9283
```

Die Zirkulationsverteilung ist in Abbildung 3.1 dargestellt.

## Aufgabe 4

Wegen der einfachen Geometrie kann der Tragflügel durch eine einzige Auftriebsfläche abgebildet werden.

Die Skelettlinie wird in Mefisto durch ein abschnittsweise definiertes Polynom beschrieben, wobei die x- und z-Werte jeweils auf die Flügeltiefe bezogen werden. Für die vorgegebene Skelettlinie gilt:

$$\frac{z_s}{c} = 4 \frac{h}{c} \frac{x}{c} \left( 1 - \frac{x}{c} \right) = 4 \frac{h}{c} \left[ -\left( \frac{x}{c} \right)^2 + \left( \frac{x}{c} \right) + 0 \right], \quad 0 \leq \frac{x}{c} \leq 1$$

Sie wird also durch ein einziges quadratisches Polynom beschrieben, das für das Intervall  $[0, 1]$  definiert ist.

## GNU Octave-Code

```
# Übungsblatt 4.2, Aufgabe 4:
# Rechteckflügel mit aerodynamischer Schränkung
# Berechnung mit dem allgemeinen Wirbelgitterverfahren
#
# -----
```



```

warning("off", "Octave:missing-glyph");
colors = [1, 0, 0; 0, 1, 0; 0, 0, 1]; % rot / gruen / blau

set(0, "defaultlinelinerwidth", 2);
set(0, "defaultaxesfontname", "Arial");
set(0, "defaultaxesfontsize", 12);
set(0, "defaultaxescolororder", colors);

file = mfilename();
fid = fopen([file, ".res"], "wt");

# Daten

nx = 15; % Anzahl Panel in x-Richtung
ny = 60; % Anzahl Panel in y-Richtung
b = 15; % Spannweite in m
c = 1.5; % Flügeltiefe in m
h = 0.02; % Wölbung in m
alpha = [0, 2]; % Anstellwinkel in Grad

# Skelettlinie

breaks = [0, 1]; coeffs = 4 * (h / c) * [- 1, 1, 0];
zs = mkpp(breaks, coeffs);

# Modelltyp

model.type = "aero";
model.subtype = "vlm";

# Punkte an der Flügelnase

points(1).id = 1; points(1).coor = [0, -0.5 * b, 0];
points(2).id = 2; points(2).coor = [0, 0.5 * b, 0];

model.points = points;

# Auftriebsfläche

ls(1).id = 1; ls(1).points = [1, 2]; ls(1).chord = c;
ls(1).camber = zs; ls(1).nx = nx; ls(1).ny = ny;
ls(1).typey = "cos";

model.ls = ls;

# Konfigurationen

nalpha = length(alpha);
for n = 1 : nalpha
    config(n).name = ...
        sprintf("Config. %2d: alpha = %4.1f",
            n, alpha(n));
    config(n).alpha = alpha(n);
end

```

```

model.config = config;

# Komponente erzeugen und exportieren

wing = mfs_new(fid, model);
mfs_export([file, ".msh"], "msh", wing, "mesh", "camber");

# Ergebnisse berechnen und exportieren

wing = mfs_statresp(wing);
wing = mfs_results(wing, "statresp", "panel");
mfs_export([file, ".pos"], "msh", wing, "statresp", "pressure");
mfs_print(fid, wing, "statresp", "pressure");

# Druck in Flügelschnitten

ncols = 3;
colno = 1 + [3, 4, 5] * ny / 6;
p      = zeros(nx, ncols, nalpha);

for n = 1 : ncols
    [x, p(:, n, :), y] = ...
        mfs_xydata(wing, "statresp", "pressure", 1, colno(n));
    names{n} = sprintf("y = %5.2f m", y);
end

figure(1, "position", [100, 500, 750, 500],
        "paperposition", [0, 0, 15, 10]);

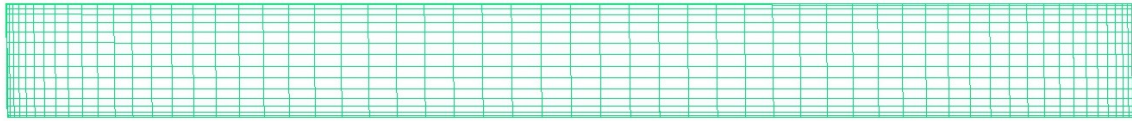
for n = 1 : nalpha
    subplot(1, nalpha, n);
    plot(x / c, squeeze(p(:, :, n)));
    title(sprintf("\\alpha = %1.0f\\circ", alpha(n))
           "fontweight", "normal");
    if (n == nalpha)
        legend(names); legend("boxoff"); legend("left");
    end
    grid;
    hax = gca();
    axpos = get(hax, "position");
    axpos(2) += 0.05; axpos(4) -= 0.1;
    set(hax, "position", axpos);
    xlim([0, 1]);
    xlabel('x/c');
    if (n == 1) ylabel('\\Delta c_P'); end
end

print([file, ".jpg"], "-djpg");

# Aerodynamische Beiwerte

[F, M] = mfs_getresp(wing, "statresp", "aeload",
                    [0.25 * c, 0, 0]);
A      = mfs_getresp(wing, "mesh", "area");

```



$$\begin{matrix} x \\ y \\ z \end{matrix}$$

Abbildung 4.1: Vernetzung

```

cL = F(3, :) / A;
cM = M(2, :) / (c * A);
cLa = 180 * diff(cL) / (pi * diff(alpha));

fprintf(fid, "Aerodynamische Beiwerte:\n\n");
fprintf(fid, "alpha : %5.2f° %5.2f°\n", alpha);
fprintf(fid, "cL : %7.4f %7.4f\n", cL);
fprintf(fid, "cM : %7.4f %7.4f\n", cM);
fprintf(fid, "dcL/da: %7.4f\n", cLa);

fclose(fid);

```

## Ergebnisse

Abbildung 4.1 zeigt die Vernetzung. An der Flügelvorder- und Hinterkante sowie an den beiden Flügelenden wird eine feinere Vernetzung verwendet als im Flügelinneren.

Der Druckbeiwert über der gesamten Flügelfläche ist in den Abbildungen 4.2 und 4.3 dargestellt. Abbildung 4.4 zeigt den Verlauf des Druckbeiwerts in ausgewählten Flügelschnitten. Im inneren Bereich des Flügels ändert sich der Druckbeiwert nur wenig in Spannweitenrichtung. Zu den Flügelenden fällt er stark ab.

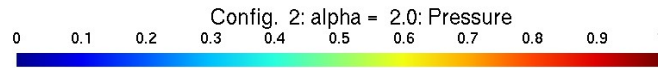
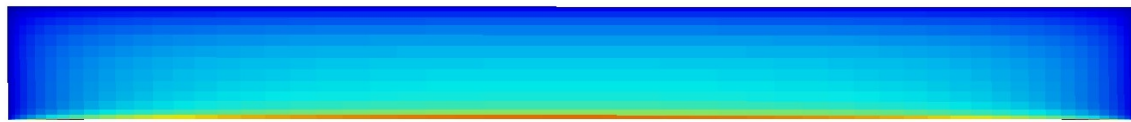
Die Ausgabedatei hat folgenden Inhalt:

```
Mefisto 2.1: Building new component from input "model"
```



Config. 1: alpha = 0.0: Pressure  
-0.498 -0.428 -0.358 -0.288 -0.219 -0.149 -0.0786 -0.00865 0.0613 0.131 0.201

$$\begin{matrix} x \\ y \\ z \end{matrix}$$
Abbildung 4.2: Druckbeiwert für  $\alpha = 0^\circ$



x  
y z

Abbildung 4.3: Druckbeiwert für  $\alpha = 5^\circ$

Model Type = aero, Model Subtype = vlm

Number of lifting surfaces = 1  
 Number of nodes = 976, Number of panels = 900  
 Number of configurations = 2

Component "wing"

Panel pressure

Config.	1	2
1:	-2.3097e-01	1.2259e-01
2:	-5.1379e-02	5.1224e-02
3:	-9.0738e-03	4.0297e-02
4:	8.4433e-03	3.8475e-02
5:	1.8082e-02	3.8630e-02

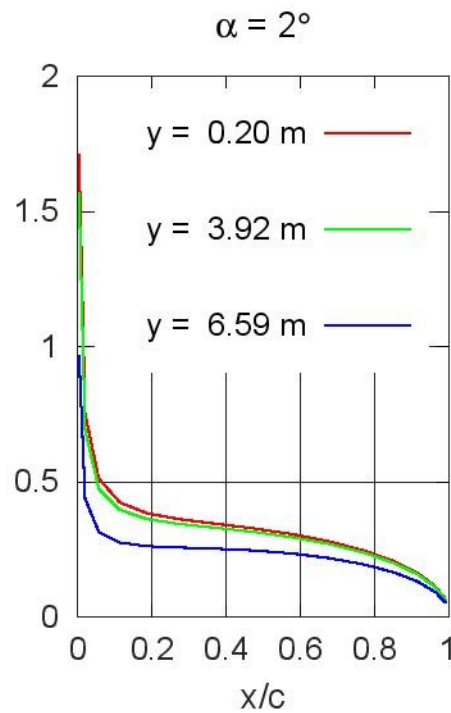
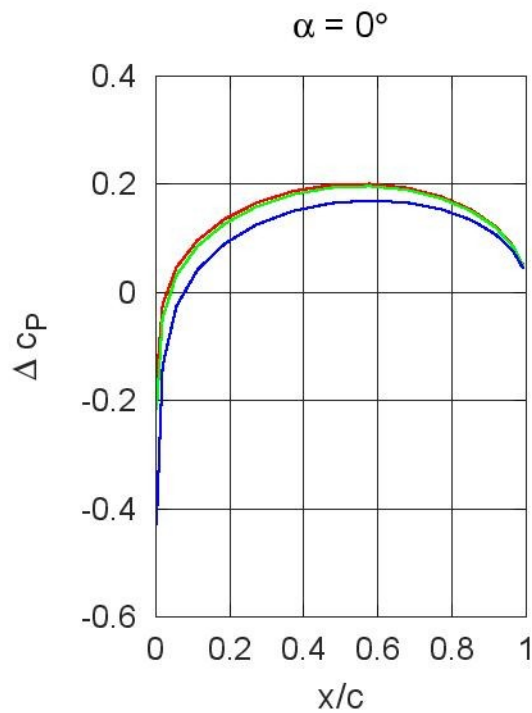


Abbildung 4.4: Druckbeiwert in ausgewählten Flügelschnitten

6:	2.4049e-02	3.9097e-02
7:	2.7809e-02	3.9309e-02
8:	2.9984e-02	3.9017e-02
...	...	...
894:	3.0870e-02	3.8083e-02
895:	3.0613e-02	3.6416e-02
896:	2.9275e-02	3.3938e-02
897:	2.6865e-02	3.0566e-02
898:	2.3335e-02	2.6190e-02
899:	1.8583e-02	2.0653e-02
900:	1.3017e-02	1.4375e-02

**Aerodynamische Beiwerte:**

alpha : 0.00° 2.00°  
 cL : 0.1331 0.3032  
 cM : -0.0399 -0.0389  
 dcL/da: 4.8752

Der Auftriebsbeiwert und seine Ableitung stimmen gut mit den Ergebnissen aus Aufgabe 3 überein.

**Aufgabe 5**

Der Flügel besteht aus je einer Auftriebsfläche für den Innenflügel, den Außenflügel und das Querruder, siehe Abbildung 5.1. Für den Innenflügel wird eine gleichmäßige Unterteilung in Spannweitenrichtung und eine symmetrische cos-Verfeinerung in Flügeltiefenrichtung verwendet. Für den Außenflügel wird eine nach außen abnehmende cos-Verfeinerung verwendet. In Flügeltiefenrichtung wird eine gleichmäßige Unterteilung verwendet, die so an-

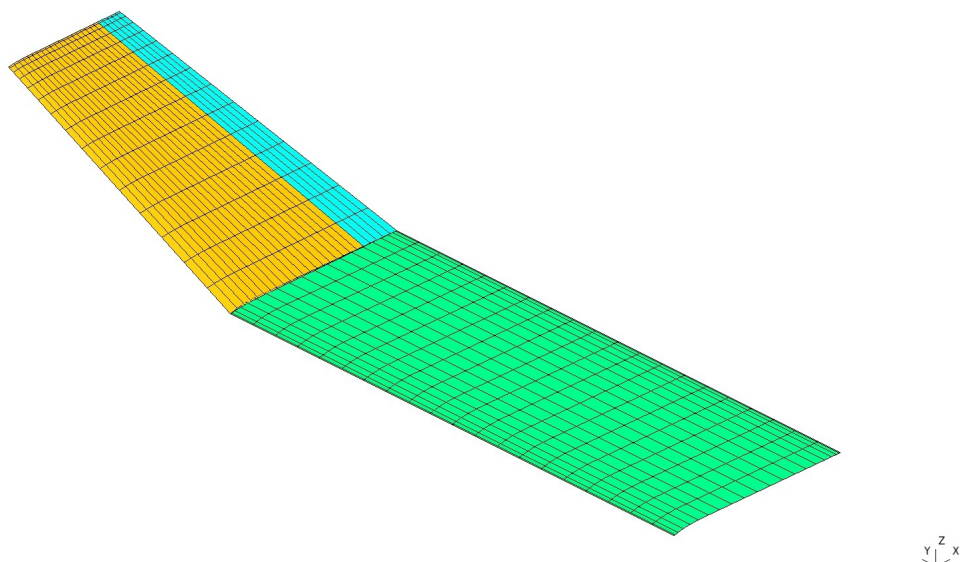


Abbildung 5.1: Auftriebsflächen

gepasst wird, dass die Wirbeltrapeze für das Querruder dieselbe Größe haben wie für den Flügel.

Die Skelettlinien werden mithilfe der Funktion `mfs_airfoil` definiert, die die 4- und die 5-ziffrigen NACA-Profile unterstützt.

### GNU Octave-Code

```
# Übungsblatt 4.2, Aufgabe 5: Knickflügel
#
# -----

file = mfilename();
fid = fopen([file, ".res"], "wt");

# Daten in mm

ya = 4000; % y-Position des Querruders
yt = 6000; % y-Position der Flügelspitze
zt = 1000; % z-Position der Flügelspitze

cr = 1500; % Flügeltiefe an der Flügelwurzel
ct = 1000; % Flügeltiefe an der Flügelspitze
k = 0.2; % Klappentiefenverhältnis des Querruders

nxi = 20; % Panels in x-Richtung für den Innenflügel
nxo = 20; % Panels in x-Richtung für den Außenflügel
nxa = 5; % Panels in x-Richtung für das Querruder

nyi = 20; % Panels in y-Richtung für den Innenflügel
nyo = 15; % Panels in y-Richtung für den Außenflügel

alpha = [0, 2]; % Anstellwinkel in Grad
eta = [0, 5]; % Querruderwinkel in Grad
v = 40E3; % Anströmgeschwindigkeit in mm/s
rho = 1.21E-12; % Luftdichte in t/mm^3

# Profildaten

ppi = mfs_airfoil("NACA", 5, 30);
ppo = mfs_airfoil("NACA", 5, 30, 0, 1 - k);
ppa = mfs_airfoil("NACA", 5, 30, 1 - k, 1);

# Definition des Modells

model.type = "aero";
model.subtype = "vlm";
model.symy = 0;

# Punkte an der Flügelvorderkante

points(1).id = 1; points(1).coor = [0, 0, 0];
points(2).id = 2; points(2).coor = [0, ya, 0];
points(3).id = 3; points(3).coor = [0, yt, zt];
```

```

# Punkte an der Querrudervorderkante

points(4).id = 12; points(4).coor = [(1 - k) * cr, ya, 0];
points(5).id = 13; points(5).coor = [(1 - k) * ct, yt, zt];

# Auftriebsfläche für den Innenflügel

ls(1).id = 1; ls(1).points = [1, 2]; ls(1).chord = cr;
ls(1).camber = ppi; ls(1).nx = nxi; ls(1).ny = nyi;

# Auftriebsfläche für den Außenflügel

ls(2).id = 2; ls(2).points = [2, 3];
ls(2).chord = (1 - k) * [cr, ct]; ls(2).camber = ppo;
ls(2).nx = nxo; ls(2).typex = "linear";
ls(2).ny = nyo; ls(2).typey = "cos>";

# Auftriebsfläche für das Querruder

ls(3).id = 3; ls(3).points = [12, 13];
ls(3).chord = k * [cr, ct]; ls(3).camber = ppa;
ls(3).nx = nxa; ls(3).typex = "linear";
ls(3).ny = nyo; ls(3).typey = "cos>";

# Querruder als Kontrollfläche

controls(1).name = "aileron";
controls(1).ls = 3;

# Konfigurationen

qdyn = 0.5 * rho * v^2; n = 0;

for l = 1 : 2
    for m = 1 : 2
        config(++n).name = ...
            sprintf("Conf. %1.0d: alpha = %5.2f, eta = %5.2f",
                n, alpha(l), eta(m));
        config(n).qdyn = qdyn;
        config(n).alpha = alpha(l);
        config(n).aileron = eta(m);
    end
end

# Definitionen zum Modell hinzufügen

model.points = points;
model.ls = ls;
model.controls = controls;
model.config = config;

# Komponente erzeugen und exportieren

wing = mfs_new(fid, model);
mfs_export([file, ".msh"], "msh", wing, "mesh", "camber");

```

```

# Ergebnisse berechnen und exportieren

wing = mfs_statresp(wing);
wing = mfs_results(wing, "statresp", "panel");
mfs_export([file, ".pos"], "msh", wing, "statresp", "pressure");

# Aerodynamische Beiwerte

[F, M] = mfs_getresp(wing, "statresp", "aeload");
As      = mfs_getresp(wing, "mesh", "area", 1 : 3);

tg = zt / (yt - ya);
cs = 1 / sqrt(1 + tg^2);
A  = As(1) + (As(2) + As(3)) * cs;

cL = F(3, :) / (qdyn * A);
cM = M(2, :) / (qdyn * A * cr);

dcL = 180 * (cL(3) - cL(1)) / (pi * diff(alpha));

fprintf(fid, "\nWing area = %5.2f m^2, dcL/da = %7.4f, ",
        1e-6 * A, dcL);
fprintf(fid, " qdyn = %10.5e MPa\n", qdyn);

for n = 1 : 4
    fprintf(fid, "\n%s:\n", config(n).name);
    fprintf(fid, "  cL = %7.4f, cM = %7.4f\n", cL(n), cM(n));
end

fclose(fid);

```

## Ergebnisse

Die Ausgabedatei hat folgenden Inhalt:

Mefisto 2.2: Building new component from input "model"

Model Type = aero, Model Subtype = vlm

Number of nodes = 873, Number of panels = 775  
 Number of lifting surfaces = 3  
 Number of control surfaces = 1  
 Number of configurations = 4  
 Reference chord length = 0.00000e+00  
 Symmetry plane: y = 0.00000e+00

Wing area = 8.50 m<sup>2</sup>, dcL/da = 4.7535, qdyn = 9.68000e-04 MPa

Conf. 1: alpha = 0.00, eta = 0.00:  
 cL = 0.0943, cM = -0.0342

Conf. 2: alpha = 0.00, eta = 5.00:  
 cL = 0.1579, cM = -0.0615

Conf. 3: alpha = 2.00, eta = 0.00:  
 cL = 0.2603, cM = -0.0734

Conf. 4: alpha = 2.00, eta = 5.00:  
 cL = 0.3239, cM = -0.1008



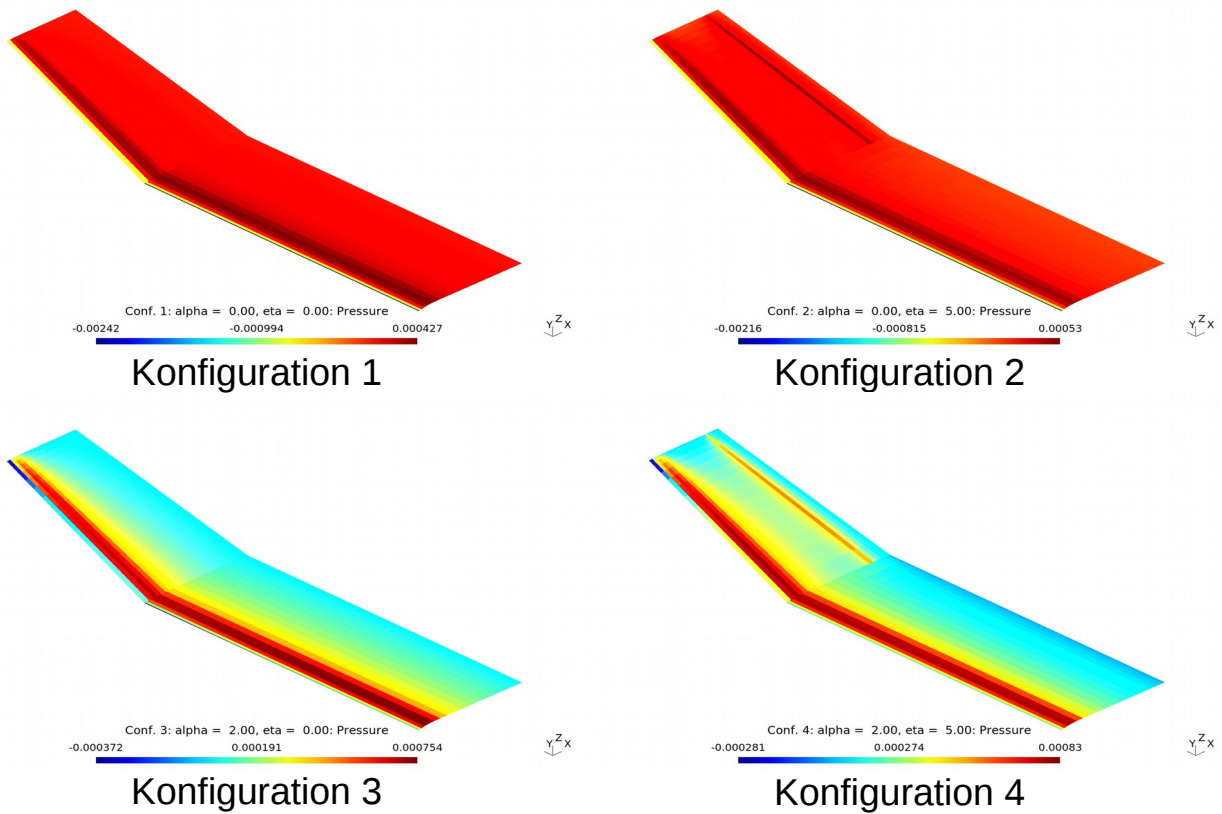


Abbildung 5.2: Druckverteilungen [MPa]

Die Druckverteilungen für die vier Konfigurationen sind in Abbildung 5.2 dargestellt.

## Aufgabe 6

Da die Auftriebsflächen gerade Vorderkanten haben, muss der Flügel in  $y$ -Richtung durch eine Reihe von Auftriebsflächen approximiert werden, die in  $y$ -Richtung jeweils nur 1 Panel aufweisen.

Für die Flügeltiefe in Abhängigkeit von  $y$  gilt

$$c(y) = c_0 \sqrt{1 - \left(2 \frac{y}{b}\right)^2},$$

wobei  $c_0$  die Flügeltiefe an der Flügelwurzel ist. Für die Koordinaten der Punkte an der Flügelnase und der Hinterkante folgt:

$$x_{LE}(y) = -c(y)/4, \quad x_{TE}(y) = 3c(y)/4$$

Es genügt die Modellierung des halben Flügels.

Die Skelettlinie des Profils wird durch einen kubischen Spline approximiert. Dafür wird die Funktion `mfs_airfoil` verwendet.

Der Anstellwinkel bei vorgegebener Geschwindigkeit berechnet sich aus dem Kräftegleichgewicht

$$mg = L = \frac{1}{2} \left( c_{L0} + \frac{dc_L}{d\alpha} \alpha \right) \rho v_\infty^2 A$$

ZU

$$\alpha = \frac{1}{dc_L/d\alpha} \left( \frac{2mg}{\rho v_\infty^2 A} - c_{L0} \right).$$

### GNU Octave-Skript

```
# Übungsblatt 4.2, Aufgabe 6: Lo 100
#
# -----

graphics_toolkit("qt");
set(0, "defaultlinelength", 2);

file = mfilename;
fid = fopen([file, ".res"], "wt");

# Daten (kg, m, s)

b      = 10.00; % Spannweite
c0     = 1.39; % Flügeltiefe an der Flügelwurzel
alpha  = [0, 5]; % Anstellwinkel in Grad
v      = 25; % Geschwindigkeit
rho    = 1.21; % Luftdichte
m      = 230; % Masse
g      = 9.81; % Erdbeschleunigung

# Diskretisierung

nx     = 10; % Anzahl der Panels in x-Richtung
ny     = 20; % Anzahl der Panels in y-Richtung
ns     = 10; % Anzahl Spline-Segmente für die Skelettlinie

# Geometrie des Flügels

theta  = linspace(0.5 * pi, 0, ny + 1);
y      = 0.5 * b * cos(theta);
c      = c0 * sqrt(1 - (2 * y / b).^2);

xL     = -0.25 * c; % Nase
xT     = 0.75 * c; % Endkante

figure(1, "position", [100, 500, 800, 400]);
plot(y, xL, y, xT);
grid;
xlim([0, 0.5 * b]);
xlabel("y [m]"); ylabel("x [m]");
```

```

# Profil

data = dlmread("clarky-il.csv", ",", "A134:B194");
data = data / data(end, 1);
pp = mfs_airfoil("fit", "camber", data, ns);

xp = linspace(0, 1, 20);
figure(2, "position", [200, 400, 800, 400]);
plot(data(:, 1), data(:, 2), "marker", "o", "color", "green",
      "linestyle", "none",
      xp, ppval(pp, xp), "color", "red");
grid;
xlim([0, 1]);
xlabel("x/c"); ylabel("z/c");

# Modell-Definition
# -----

model.type = "aero";
model.subtype = "vlm";
model.symy = 0;

# Punkte auf der Flügelnase

for n = 1 : ny + 1
    points(n).id = n; points(n).coor = [xL(n), y(n), 0];
end

model.points = points;

# Auftriebsflächen

for n = 1 : ny
    ls(n).id = n;
    ls(n).points = [n, n + 1];
    ls(n).chord = [c(n), c(n + 1)];
    ls(n).nx = nx; ls(n).ny = 1;
    ls(n).camber = pp;
end

model.ls = ls;

# Konfigurationen

for k = 1 : length(alpha)
    config(k).name = ...
        sprintf("Config. %2d: alpha = %4.1f°", k, alpha(k));
    config(k).alpha = alpha(k);
end

model.config = config;

# Rechnung
# -----

```

```

# Komponente erzeugen und exportieren

wing = mfs_new(fid, model);
mfs_export([file, ".msh"], "msh", wing, "mesh", "camber");

# Rechnen

wing = mfs_statresp(wing);
wing = mfs_results(wing, "statresp", "panel");
mfs_export([file, ".pos"], "msh", wing, "statresp", "pressure");

# Beiwerte

A      = 2 * mfs_getresp(wing, "mesh", "area");
[F, M] = mfs_getresp(wing, "statresp", "aeload");

cL = 2 * F(3, :) / A;
dcLda = 180 * diff(cL) / (pi * diff(alpha));

cM = 2 * M(2, :) / (c0 * A);

# Theoretischer Auftriebsanstieg

S      = b^2 / A;
dcLt = 2 * pi * S / (S + 2);

# Anstellwinkel bei vorgegebener Geschwindigkeit

av = 2 * m * g / (rho * v^2 * A) - cL(1);
av = (av / dcLda) * 180 / pi;

fprintf(fid, "\nAuswertung:\n\n");
fprintf(fid, "Flügelfläche: %5.2f\n", A);
fprintf(fid, "\nalpha : %5.2f° %5.2f°\n", alpha);
fprintf(fid, "cL      : %7.4f %7.4f\n", cL);
fprintf(fid, "cM      : %7.4f %7.4f\n", cM);
fprintf(fid, "\ndcL/da: %7.4f (theor. %7.4f)\n", dcLda, dcLt);
fprintf(fid, "\nalpha bei %5.2f m/s: %5.2f°\n", v, av);

fclose(fid);

```

## Ergebnisse

Die Ausgabedatei hat folgenden Inhalt:

Mefisto 2.4: Building new component from input "model"

Model Type = aero, Model Subtype = vlm

```

Number of nodes = 440, Number of panels = 200
Number of lifting surfaces = 20
Number of configurations = 2
Reference chord length = 0.00000e+00
Symmetry plane: y = 0.00000e+00

```

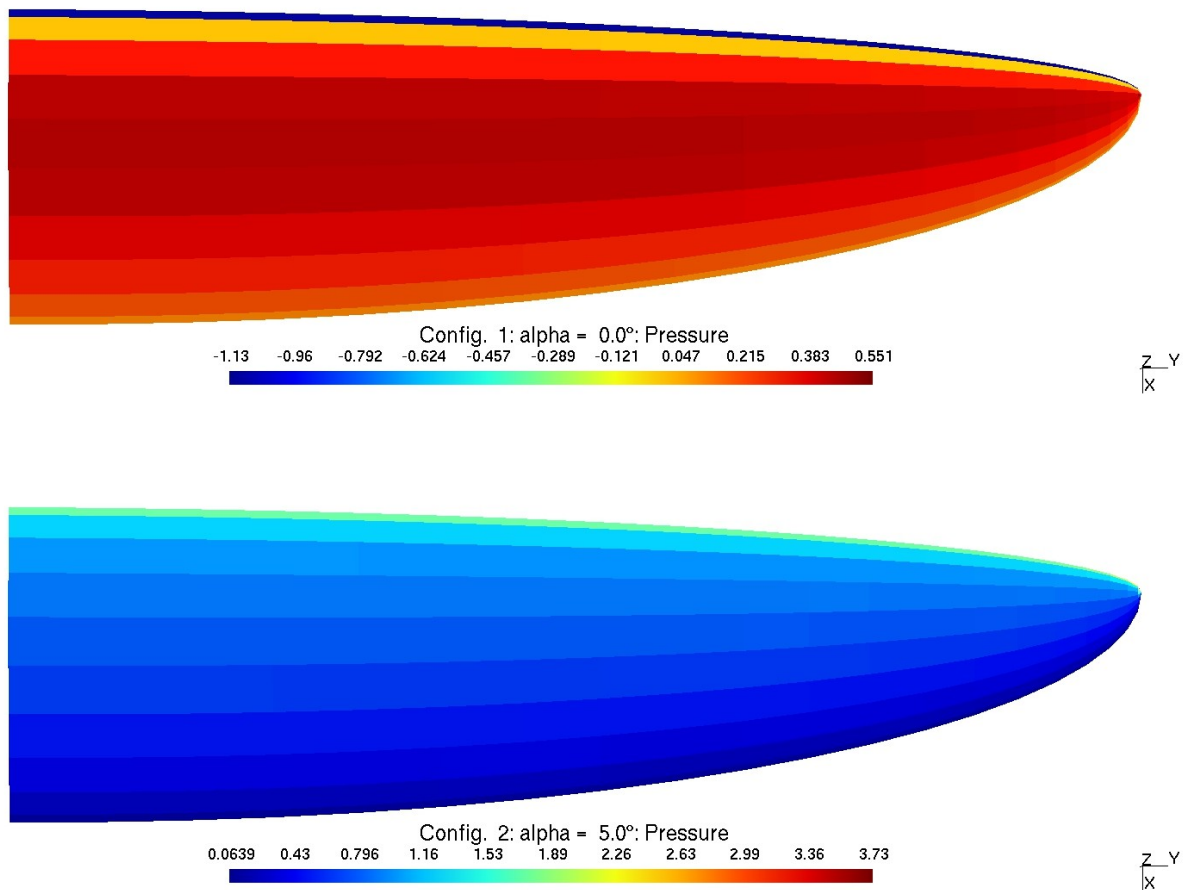


Abbildung 6.1: Druckbeiwert

**Auswertung:**

Flügelfläche: 10.91

alpha : 0.00° 5.00°

cL : 0.2995 0.7361

cM : -0.0686 -0.0668

dcL/da: 5.0021 (theor. 5.1581)

alpha bei 25.00 m/s: 2.84°

Der Druckbeiwert ist in Abbildung 6.1 dargestellt.